

ارزیابی و کنترل ضوابط آیین نامه SEAOC/UBC97

در مورد سازه‌های بلند ایزوله شده

فیاض رحیم‌زاده روویی* و حمید سعادت‌نیا**

دانشکده مهندسی عمران، دانشگاه صنعتی شریف

(دربافت مقاله: ۷۸/۹/۱۶ - دریافت نسخه نهایی: ۷۹/۱/۲۸)

چکیده - سیستمهای ایزوله پایه از جمله روش‌های کنترل نافعالی است که در سه دهه اخیر برای محدود کردن پاسخ لرزه‌ای سازه‌ها مورد استفاده قرار گرفته است. در این راستا آیین نامه UBC از سال ۹۱ ضمیمه‌ای را در خصوص طراحی سازه‌های ایزوله شده به این آیین نامه اضافه کرده است. با توجه به اهمیت بررسی رفتار این گونه سیستمهای تحت اثر بارگذاری لرزه‌ای و به منظور ارزیابی روش استاتیکی معادل آیین نامه UBC97 برای سازه‌های ایزوله، یک مدل سازه‌ای چهار طبقه سه بعدی برای ۸ نوع مختلف از سیستمهای ایزوله توصیه شده توسط این آیین نامه طراحی شده است. در ادامه ضمن انتخاب ۱۰ رکورد زلزله (پنج زوج) ثبت شده بر روی خاک سخت از نوع SA و SB بر طبق آیین نامه UBC97، کلیه مدل‌های طراحی شده تحت اثر رکوردهای مزبور به صورت غیرخطی تحلیل دینامیکی تاریخچه زمانی شده‌اند. در مدل‌های مزبور سیستم ایزولاتور و نیز روسازه قادر به ارائه رفتار غیرخطی (دو خطی)‌اند. نتایج این تحلیلها نشان‌دهنده مناسب بودن مقدار برش پایه پیشنهادی آیین نامه UBC97 بوده ولی توزیع این نیروها در طبقات به خصوص برای سیستمهای ایزوله با نسبت استهلاک زیاد به نحو مناسبی صورت نمی‌پذیرد. در نتیجه به علت کمتر برآورده شدن نیروهای برش برای طبقات بالا، ستونهای این طبقات اکثراً رفتاری غیرخطی از خود نشان داده‌اند. تغییر مکان طبقه پایه به دست آمده از روش استاتیکی معادل آیین نامه UBC94 نیز که همواره بزرگتر از نتایج حاصله از تحلیل تاریخچه زمانی انجام شده برای تغییر مکان در مرکز و در گوشه‌های طبقه پایه بود، در UBC97 به نحو مناسبی کاهش داده شده است. همچنین به منظور تأمین نیازهای برشی ستونهای طبقات فوقانی، نسبت به ارائه روش دیگری برای توزیع برش پایه در ارتفاع برای سازه‌های ایزوله اقدام شد. نتایج به دست آمده نشان‌دهنده آن است که در صورت استفاده از توزیع برش پایه پیشنهادی، انطباق بسیار بهتری برای پاسخهای حاصله از تحلیل‌های غیرخطی تاریخچه زمانی با روش استاتیکی معادل آیین نامه UBC97 وجود خواهد داشت.

Evaluation of the SEAOC/UBC97 Provisions for the Tall Base-Isolated Structures

F. Rahimzadeh Rofooei and H. Saadatnia

Department of Civil Engineering, Sharif University of Technology,

ABSTRACT- The base isolation systems are among the passive control devices that have been used over the last three decades to limit the seismic-induced response of structures. In this regard, the Uniform Building

*- استادیار **- کارشناس ارشد سازه

Code provisions (UBC) has incorporated a special section for the seismic design of base isolated structures since its 1991 edition. Due to the importance of the behavior of these structures under seismic loading, and to evaluate the equivalent static analysis method of UBC97, a three dimensional, 4-story base-isolated structural model is selected. Considering 8 different types of the LRB base-isolation systems, the 8 structural models are designed using the UBC97 provisions for these structures. Extensive nonlinear dynamic time history analyses are performed for these structural models, using five pairs of earthquake components recorded on the S_A and S_B soil profile types according to the UBC97 provisions. In the dynamic analyses, both the base isolation systems and the superstructure are allowed to behave nonlinearly (bilinear). The results indicate that the UBC97 suitably predicts the base shear force for the superstructure, but that it does not provide a good estimate of the shear force distribution over the height, especially for the heavily damped base isolation systems. Also, underestimation of elastic force for the higher floors by UBC97, considered to be the main reason for the nonlinear behavior of the columns of these floors, revealed in the dynamic time history analyses. Besides, the corner and the center bearings' displacement of the base floor predicted by the equivalent static method of the UBC94 were usually larger than their mean dynamic time history response. This issue has been appropriately modified in the UBC97. In addition, to provide the required strength capacity for the columns of the higher floors, an alternative shear force distribution over height for the base isolated structures is proposed. The results of the nonlinear dynamic analysis performed indicates that there is a closer match between the mean response of the structures designed by proposed shear force distribution and those obtained from the equivalent static method of the UBC97 provisions.

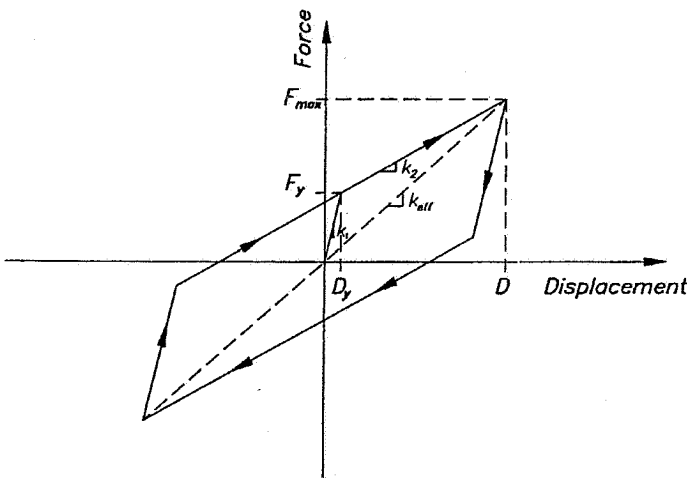
خصوصیت‌های توان به آئین نامه SEAONC86 اشاره کرد که برای

اولین بار ضوابط مدونی را برای تحلیل و طراحی ساختمانهای ایزوله شده پیشنهاد کرد [۳]. همین طور SEAOC در سال ۱۹۹۰ مجددًا در ضوابط پیشنهادی برای تعیین بارهای جانبی خصمیمهای را به سازه‌های ایزوله شده اختصاص داد که این خصمیمه در سال ۹۱ توسط آئین نامه UBC مورد تأیید و استفاده قرار گرفت [۴]. به علت ابهامات موجود در ضوابط ارائه شده در این آئین نامه‌ها، مطالعات متعددی در زمینه بررسی این ضوابط صورت پذیرفت. لشکری و کرشر ضوابط آئین نامه SEAOC در خصوص عملکرد سیستمهای ایزوله را مورد ارزیابی قرار داده و با بررسی رفتار انواع مختلفی از ایزولاتورها با خواص سختی دو خطی و با فرض صلب بودن سازه فوقانی، مناسب بودن تیروی برش پایه و تغییر مکان طبقه پایه برآورد شده توسط آئین نامه مزبور را به صورت کلی مورد تأیید قرار دادند [۵]. ارزیابی به عمل آمده توسط کنستانتینو و همکاران بر روی سیستمهای ایزولاسیون لغزشی با در نظر گرفتن یک سازه فوقانی انعطاف پذیر به نتایج مشابهی منجر شد [۶]. ویتروکنستانتینو و در بررسی دیگری، نتایج حاصل از روش‌های تحلیل استاتیکی معادل و طیفی مربوط به سازه‌های ایزوله در آئین نامه UBC91 برای سازه‌های فوقانی صلب و انعطاف پذیر را مقایسه کردند. این بررسی نشان‌دهنده نزدیک بودن مقادیر

- مقدمه

از اوایل قرن جاری، ایده جداسازی سازه‌ها از پی برای محافظت سازه‌های فوقانی در زمان وقوع زلزله، مورد توجه محققان و مهندسان زیادی قرار گرفته و منجر به ابداع انواع گوناگونی از این سیستمهای ایزوله شد [۱ و ۲]. از جمله اهداف مهم سیستمهای ایزوله، کاهش نیروهای افقی واردہ به سازه فوقانی و نهایتاً کاهش خسارات واردہ به آن است. انواع زیادی از این گونه سیستمهای ایزوله سازی سازه‌ها پیشنهاد و تعدادی از آنها عملاً برای محافظت ساختمانهای پلها، نیروگاهها و غیره در مقابل زلزله مورد استفاده قرار گرفته‌اند.

از آنجایی که برخی از سیستمهای ایزوله دارای طبیعتی غیرخطی بوده (سیستمهای اصطکاکی) و یا به علت تغییر مکانهای قابل توجه و یا وجود المانهای جاذب انرژی، وارد محدوده غیرخطی رفتار مصالح می‌شوند، تعیین رفتار دقیق این گونه سازه‌های ایزوله، نیازمند استفاده از ابزار محاسباتی پیشرفته با قابلیت منظور کردن رفتار غیرخطی و واقعی اجزای مختلف سازه‌ای منجمله ایزولاتورهاست. از طرفی به علت پیچیده بودن مراحل مختلف انجام این گونه محاسبات، فرایند مزبور قابل استفاده در کاربردهای عملی و روزمره مهندسان طراح نخواهد بود. بدین جهت همانند ساختمانهای معمولی، مشکلات گفته شده، مشوق تهیه و ارائه ضوابطی برای تحلیل و طراحی سیستمهای ایزوله شد. در این



شکل ۱- منحنی نیرو - تغییر مکان یکی از سیستمهای ایزوله

ایزوله مورد استفاده در مدل‌های سازه‌ای ارائه شده است. در هر سازه ۵ نوع مقطع به کار رفته است که کلیه آنها قوطی شکل و از مقاطع استانداردند. طراحی سازه‌ها براساس آیین‌نامه AISC به روش تنشهای مجاز و با نرم‌افزار SAP90 و SAPSTL و با رعایت تمامی ضوابط آیین‌نامه UBC97، خاص سازه‌های ایزوله انجام شده است. از مهمترین محدودیتهای این آیین‌نامه کنترل تغییر شکل نسبی است که در حد $\frac{0.015}{R_I}$ نگه داشته شده که در آن R_I ضریب رفتار سازه‌های ایزوله است. همچنین سعی شده است تا نسبت اندرکنش تنشها در اعضاء (تنش موجود به تنش مجاز) در حد $0.9/0.5$ تا $1/0.5$ حفظ شود. کفها به طور کلی صلب فرض شده‌اند و مرکز جرم به گونه‌ای انتخاب شده است که از یک طرف دارای خروج از مرکز ۵ درصد ($3/0$ متر) باشد. در تحلیلهای تاریخچه زمانی از ۱۰ رکورد زلزله (به صورت ۵ زوج) که مربوط به خاکهای تیپ S_A و S_B از آیین‌نامه UBC97 و به عبارتی خاکهای سخت‌اند، به شرح جدول (۲) استفاده شده است. طبق بررسی انجام شده توسط لشکری و کرشر [۵]، این رکوردها به نحوی همپایه شده‌اند که متوسط PGV برای هر جفت از رکوردها برابر با 45.7cm/s (18in/sec) شود. برای انجام تحلیل دینامیکی غیرخطی از نرم‌افزار ANSYS [۱۰]، با اثر همزمان دو مؤلفه افقی زلزله استفاده شده و صحت نتایج حاصله در محدوده‌های رفتار خطی و غیرخطی توسط نرم‌افزارهای Drain-2DX و SAP90 و SAPSTL کنترل شده‌اند. در ادامه نتایج حاصل از تحلیلهای تاریخچه زمانی برای پارامترهای مختلف سازه‌ای و نیز مقایسه آنها با برخی از ضوابط آیین‌نامه UBC ارائه می‌شود.

تغییر مکان ایزولاتورهای مرکزی و گوشة طبقه پایه حاصل از آیین‌نامه UBC91 به تغییر مکانهای متوسط متناظر حاصل از تحلیلهای غیرخطی تاریخچه زمانی برای خاک نوع S₂ بود. برای خاک S₁ نتایج حاصل از آیین‌نامه UBC91 برای ایزولاتورهای گفته شده، کمتر از متوسط نتایج تحلیلهای تاریخچه زمانی به دست آمده حاصل شد. در خصوص برش پایه، علی‌رغم مناسب بودن برآورد UBC91 از برش حاصل از تحلیلهای تاریخچه زمانی، توزیع نیروی برشی در هر دو روش از مطلوبیت لازم برخوردار نبوده است [۷].

به موازات نتایج حاصله از این گونه مطالعات، آیین‌نامه UBC94 ضمن انعطاف پذیر فرض کردن سازه فرقانی، نسبت به اصلاح توزیع قبلی و ارائه توزیع خطی از برش پایه در ارتفاع (مشابه سازه‌های با پایه ثابت) اقدام کرد [۸]. در UBC97 ضمن ارائه تعریف جدیدی برای تغییر مکان طبقه پایه، نحوه محاسبه این پارامتر و همچنین برش پایه تصحیح شده است. همچنین توزیع نیروی برش پایه در طبقات کماکان ثابت مانده است [۹].

هدف از انجام این مطالعه، بررسی مناسب بودن توزیع عمودی نیروهای برشی در آیین‌نامه‌های UBC94 و یا UBC97 است. در این رابطه، توزیع جدیدی برای تقسیم نیروهای برش در ارتفاع پیشنهاد و عملکرد آن مورد مطالعه قرار گرفته است.

۲- مشخصات مدل‌های سازه‌ای مورد استفاده

یک سازه فرقانی سه بعدی قاب خمثی ۴ طبقه که در پلان دارای مقطعی مربع به ابعاد 6×6 متر و به ارتفاع طبقات $3/5$ متر است، با تعداد ۸ تیپ ایزولاتور با پریودهای طبیعی بین $1/5$ الى 3 ثانیه و نیز میرایی 6 تا 30 درصد در نظر گرفته شده است. استفاده قبلی از این ایزولاتورها در کارهای تحقیقاتی گفته شده و نیز فراهم کردن امکان مقایسه نتایج حاصله از این مطالعه با آنها، علت این انتخاب بوده است. سازه فرقانی دارای سختی یکسان در هر دو جهت بوده و برای هر سیستم ایزوله، با نیروی برشی پیشنهادی UBC97 طراحی شد. بنابراین در مجموع ۸ مدل سازه‌ای برای انجام تحلیل دینامیکی تاریخچه زمانی غیرخطی تهیه شدند. لازم به یادآوری است که در این تحلیلهای سیستم ایزوله و نیز کلیه اجزای روسازه قادر به بروز رفتار غیرخطی ناشی از مصالح به نحو نشان داده شده در شکل (۱) هستند. در جدول (۱) مشخصات سیستمهای

جدول ۱- مشخصات سیستمهای ایزوله

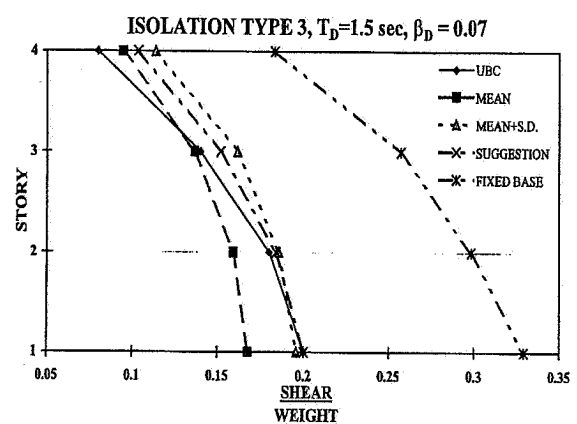
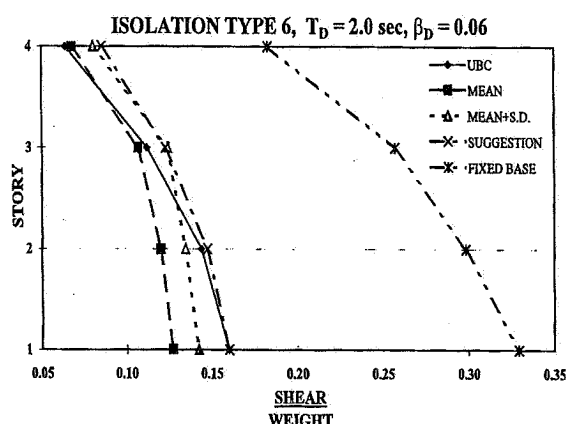
Properties of Isolation System Analyzed on Stiff Soil Profiles (S_A , S_B)							
Parameter in Nonlinear Analysis			Design parameters		Equivalent linear Properties		Isolation System Type Number
K_2/K_1	D_y (mm)	Yield force W	Fmax/W	D (mm)	Damping Ratio (%)	Period (sec)	
۰/۳۹۲۱۶	۱۲/۷	۰/۰۵	۰/۲۰	۱۱۰	۷	۱/۵	۳
۰/۲۳۱۴۰	۱۲/۷	۰/۰۷	۰/۱۷	۸۸	۱۵	۱/۵	۴
۰/۳۸۲۸۸	۱۲/۷	۰/۰۳	۰/۱۶	۱۵۳	۶	۲/۰	۶
۰/۱۸۸۶۸	۱۲/۷	۰/۰۵	۰/۱۳	۱۱۵	۱۶	۲/۰	۷
۰/۰۸۵۰۳۴	۱۲/۷	۰/۰۷	۰/۱۱	۹۴	۳۰	۲/۰	۸
۰/۲۳۵۰۴	۱۲/۷	۰/۰۳	۰/۱۲	۱۶۶	۱۰	۲/۵	۹
۰/۰۸۹۲۸۶	۱۲/۷	۰/۰۵	۰/۰۹	۱۲۱	۲۷	۲/۵	۱۰
۰/۱۳۸۸۶	۱۲/۷	۰/۰۳	۰/۰۸	۱۷۳	۱۶	۳/۰	۱۱

پیشنهادی UBC97 برای طراحی، "UBC" نامگذاری شده و بقیه نمودارها به ترتیب با عنوان متوسط "MEAN"، متوسط باضافه انحراف معیار "MEAN+S.D."، و نهایتاً "FIXED BASE" برای پایه مدل‌های روسازه‌ای و نیز سازه با پایه صلب را بیان می‌کنند. این شکلها نشان‌دهنده آن است که در سیستمهای ایزوله از نوع ۳ و ۶، مقدار برش پایه به دست آمده از تحلیل تاریخچه زمانی با برش پیشنهادی UBC97 تا حدودی مطابقت دارد. توزیع این برش در طبقات پایین کمی زیادتر و در طبقات بالا تا حدی کمتر از مقدار پیشنهادی UBC97 تعیین شده است. از مشخصه‌های سیستمهای ایزوله گفته شده، کم بودن ضریب میرایی آنهاست. در سیستمهای ایزوله از نوع ۴، ۷ و ۱۱، مقدار برش پایه پیشنهادی UBC97 قابل قبول بوده ولی کماکان نحوه توزیع آن در طبقات صحیح نیست. UBC97 مقدار برش طبقات کمتری را به خصوص در طبقات بالاتر ارائه می‌کند. این سیستمهای ایزوله دارای ضریب میرایی بین ۱۵ تا ۱۶ درصد هستند. در سیستم ایزوله تیپ ۱۱ میزان برش پایه پیشنهادی از متوسط نتایج تحلیلها کمتر است. علت این مسئله را می‌توان در پریود بالای سیستم ایزوله (۳ ثانیه) جستجو کرد. در سیستمهای ایزوله از نوع ۸ و ۱۰، هم مقدار برش پایه و هم

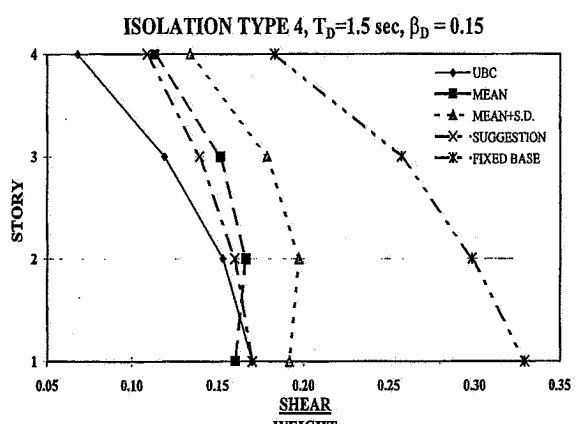
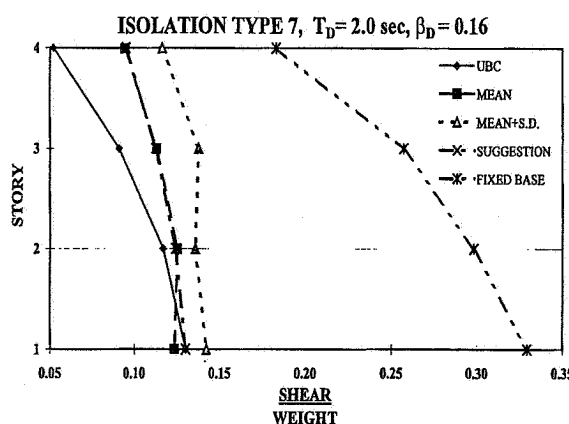
۳- بررسی برش پایه و توزیع آن در ارتفاع برای ۸ مدل سازه‌ای با سیستمهای ایزوله متفاوت، ضمن استفاده از ۵ جفت رکورد زلزله همپایه شده بر حسب PGV، تحلیلهای دینامیکی متعددی انجام و پاسخ مدل‌های سازه‌ای مزبور برای پارامترهایی چون حداکثر تغییر مکان طبقه پایه در گوشه‌ها در دو جهت، برش پایه و برش طبقات در دو جهت و تغییر شکل نسبی طبقات^۱ به دست آمده است. باید توجه داشت که برای تعیین نیروی طراحی واقعی، نتایج تحلیل تاریخچه زمانی برای برش پایه و برش طبقات با استفاده از ضریب RI کاهش نیافته است. لازم به ذکر است براساس توصیه UBC97، بایستی از حداقل ۳ جفت رکورد زلزله برای انجام تحلیل دینامیکی غیر خطی تاریخچه زمانی استفاده شده و از حداکثر پاسخ حاصله برای طراحی استفاده شود. برای انجام مقایسه‌ای واضح در مورد هر پارامتر، میانگین و میانگین به اضافه انحراف معیار، محاسبه و با نتایج حاصله از روش استاتیکی معادل توصیه شده توسط UBC97 مقایسه شده است. نمودارهای توزیع نیروی برش در طبقات برای سیستمهای ایزوله مختلف در روش‌های استاتیکی معادل و تاریخچه زمانی در شکل‌های (۲) تا (۹) آورده شده است. در این شکلها نیروی برش

جدول ۲- مشخصات رکوردهای زلزله

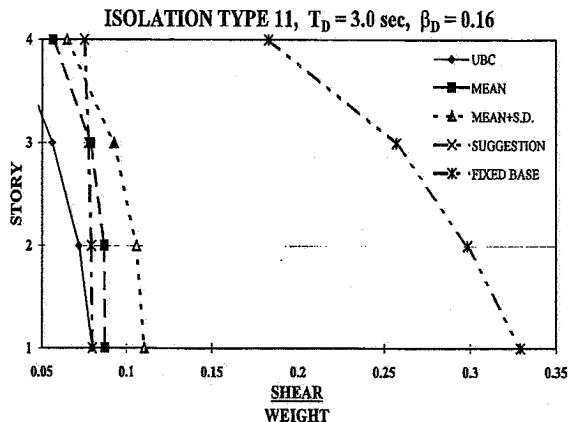
ردیف	نام ایستگاه	نام زلزله	رکورد مقیاس شده		رکورد مقیاس نشده		ضریب
			PGV	PGA	PGV	PGA	
۱	ال سترو ۱۹۴۰	IMPERIAL VALLEY	۴۰/۰۷	۰/۳۶۷۰	۳۸/۰۳	۰/۳۴۸۳	۱/۰۵۳۶
			۵۱/۳۳	۰/۱۹۱۹	۴۸/۷۲	۰/۱۸۲۱	
۲	کرن کانتی ۱۹۵۲	HOLLYWOOD STORAGE R.E	۳۶/۴۵	۰/۳۶۷۴	۵/۸۷۳	۰/۰۵۹۲	۶/۲۰۰۹
			۵۴/۹۰	۰/۲۶۰۹	۸/۸۰۵	۰/۰۴۲۰	
۳	ال سترو ۱۹۷۹	IMPERIAL VALLEY BONDS CORNER	۴۲/۵	۰/۶۰۱۳	۵۰/۷۵	۰/۷۷۷۷	۰/۸۳۵۷
			۴۸/۹۰	۰/۴۹۸۵	۵۸/۳۹	۰/۰۹۰۲	
۴	سان فراناندو ۱۹۷۱	CASTAIC OLD RIDGE ROUTE	۳۹/۲۶	۰/۶۱۹۷	۱۹/۹۸	۰/۳۱۵۴	۱/۹۶۴۷
			۵۲/۱۴	۰/۰۵۳۱۷	۲۶/۰۴	۰/۲۷۰۶	
۵	نفت ۱۹۵۲	KERN COUNTRY LINCOLN SCHOOL	۴۶/۴۱	۰/۴۰۱۴	۱۸/۰۰	۰/۱۰۰۷	۲/۰۷۸۳
			۴۴/۹۹	۰/۴۶۲۲۳	۱۷/۴۰	۰/۱۷۹۳	



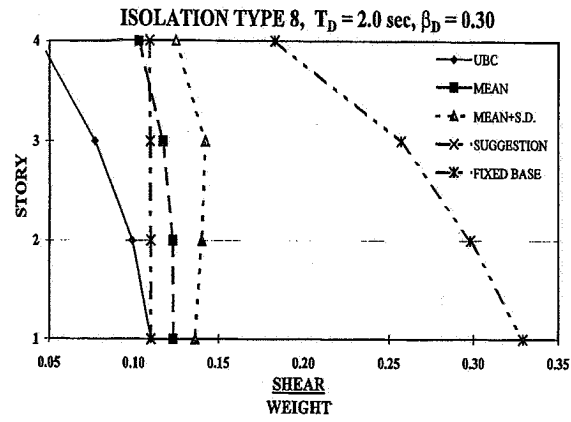
شکل ۲- تغییرات نیروی برش در طبقات برای سیستم ایزوله تیپ ۳



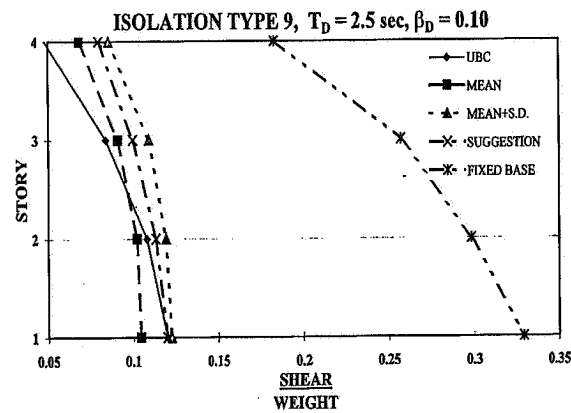
شکل ۳- تغییرات نیروی برش در طبقات برای سیستم ایزوله تیپ ۷



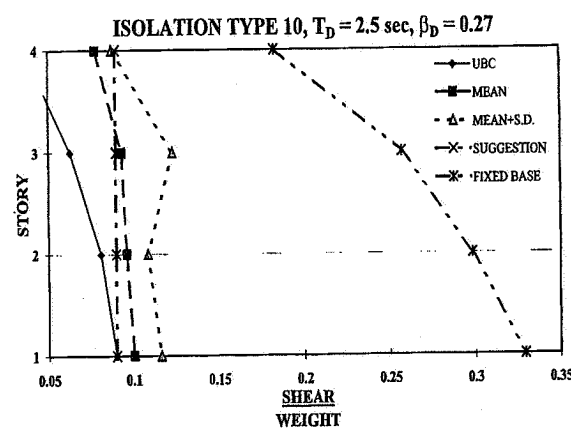
شکل ۹- تغییرات نیروی برش در طبقات برای سیستم ایزوله تیپ ۱۱



شکل ۶- تغییرات نیروی برش در طبقات برای سیستم ایزوله تیپ ۸



شکل ۷- تغییرات نیروی برش در طبقات برای سیستم ایزوله تیپ ۹



شکل ۸- تغییرات نیروی برش در طبقات برای سیستم ایزوله تیپ ۱۰

توزیع ارائه شده توسط آین نامه UBC97 کمتر از مقادیر حاصله از تحلیل غیرخطی تاریخچه زمانی است. سیستمهای ایزوله مزبور، دارای ضریب میرایی بین ۳۰ تا ۲۵ درصدند. آنچه در توزیع واقعی

۴- بررسی تغییر مکان نسبی طبقات

نمودارهای مشابهی برای تغییر شکل نسبی طبقات نیز وجود دارد که از آوردن آنها در این مقاله خودداری شده است. از نکات مهم این نمودارها، کم بودن قابل توجه تغییر شکل نسبی یک ساختمان ایزوله تسبیت به یک ساختمان با پایه های ثابت است. همچنین، با افزایش ضریب میرایی ایزولاتور، میزان تغییر شکلهای نسبی در

۶- پیشنهاد یک توزیع جدید برای نیروهای برشی در ارتفاع

با توجه به نارسایی روابط ارائه شده در آیین نامه UBC97 برای توزیع عمودی نیروی برش پایه، روشهای مختلفی برای اصلاح این نحوه توزیع مورد بررسی قرار گرفت. در نهایت با فرض درست بودن میزان نیروی برش پایه پیشنهادی آیین نامه مزبور، استفاده از یک نیروی متمرکز در تراز سقف سازه به میزان:

$$F_t = 1.5 \beta T V_s$$

منجر به نتایج مناسبی شد. در این معادله V_s برش پایه کل (مربوط به سازه های ایزوله)، T پریود طبیعی روسازه و β نسبت استهلاک سیستم ایزولاتور تند. در این صورت توزیع نیروی برش در تراز سایر طبقات به شکل زیر خواهد بود:

$$F_i = \frac{W_i h_i}{\sum_{j=1}^n w_j h_j} (V_s - F_t) \quad i=1, \dots, n$$

n تعداد طبقات روسازه بوده و نیروی F_t به برش پایه طبقه آخر حاصله از معادله بالا اضافه می شود. همان طور که شکلهای (۲) الی (۹) نشان می دهند، توزیع پیشنهادی، پیشرفت قابل قبولی را در جهت انطباق با توزیع واقعی برش در طبقات حاصله از تحلیل دینامیکی غیرخطی تاریخچه زمانی به دست می دهد.

۷- بررسی رفتار غیرخطی اجزای روسازه

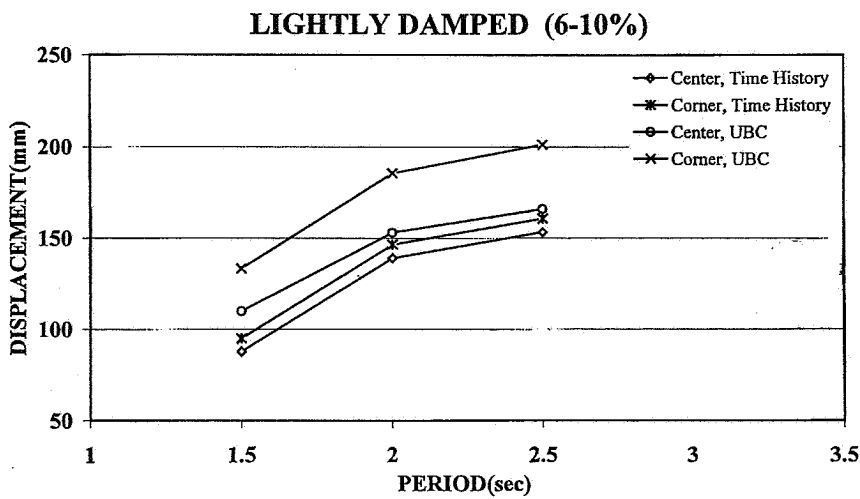
از جمله نکات مهم این مطالعه بررسی رفتار غیرخطی سازه فوکانی است. در این رابطه تعداد المانهایی از سازه فوکانی که وارد محدوده رفتار غیرخطی شده اند، یکی از پارامترهای مورد نظر بوده است. به عنوان مثال (شکل ۱۳) نشان دهنده بیشترین درصد بروز رفتار غیرخطی در ستونهای طبقه چهارم کلیه مدل های سازه ای است. در این خصوص تناسب موجود بین افزایش میزان استهلاک ایزولاتورها و افزایش میزان غیرخطی شدن ستونها به خصوص در ستونهای طبقات سوم قابل توجه است. همان طور که در بخش توزیع نیروی برشی دیده شد، UBC97 برآورد نامناسبی از توزیع نیروی برش در طبقات بالا ارائه کرده و این امر منجر به ضعیفتر شدن مقاطع مورد استفاده در طراحی ستونها می شوند. این مسئله به خصوص در سیستمهای ایزوله با استهلاک زیاد که توزیع نیروی

سازه بیشتر از حد مجاز UBC97 می شود. علت این امر به خصوص در طبقات بالا ناشی از کمتر برآورد شدن مقدار برش و نتیجتاً رفتار غیرخطی ستونهای طبقات آن است.

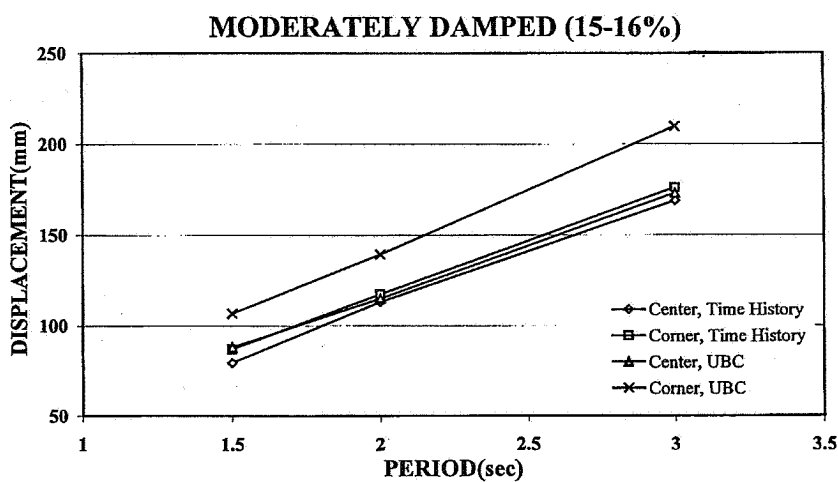
۵- بررسی تغییر مکان ایزولاتورها

در خصوص تغییر مکان طبقه پایه، با توجه به وجود خروج از مرکزیت در مدل روش ازهای، تغییر مکانهای مرکزی طبقه پایه و همچنین حداکثر تغییر مکان گوشه ها با مقادیر متناظر از UBC97 در شکلهای (۱۰) تا (۱۲) مقایسه شده است. در همه موارد تغییر مکانها بر حسب پریود سیستم ایزوله ترسیم شده است. در این نمودارها، تغییر مکانهای مرکز و گوشه های طبقه پایه به دست آمده از تحلیل تاریخچه زمانی با "CENTER TIME HISTORY" و "CORNER TIME HISTORY" و تغییر مکانهای پیشنهادی "CORNER UBC" و "CENTER UBC" با جملات "UBC97" مشخص شده است. از این شکلهای می توان نتیجه گرفت که با افزایش استهلاک سیستم ایزوله، تغییر مکان پایه کاهش پیدا می کند. علت این امر افزایش قابلیت جذب انرژی در سیستمهای ایزوله با استهلاک زیاد است، هرچه سیستم ایزوله استهلاک بیشتری داشته باشد، نیروی انتقالی به سازه فوکانی کاهش یافته و در نتیجه تغییر مکان کمتری رخ می دهد.

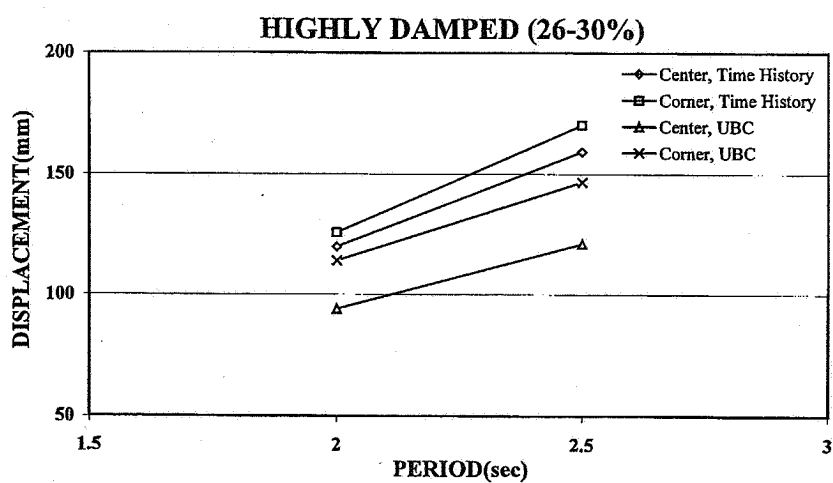
با افزایش پریود سیستم ایزوله، تغییر مکان طبقه پایه افزایش یافته و این سیستم انعطاف پذیرتر می شود. به همین دلیل واضح است که تغییر مکان بیشتری در این گونه سیستمهای با پریودهای بالاتر وجود داشته باشد. در سیستمهای ایزوله با میرایی کم، برآورد UBC97 از تغییر مکان طبقه پایه بیشتر است. همین طور، در سیستمهای ایزوله با استهلاک متوسط نیز برآورد UBC97 تا حدی بیش از نتایج تحلیل تاریخچه زمانی است. ولی آیین نامه مزبور برآورد بهتری نسبت به سیستمهای ایزوله با استهلاک کم به دست می دهد. در سیستمهای ایزوله با استهلاک زیاد، تغییر مکان مرکز طبقه پایه مربوط به UBC97، تطابق کاملی با نتایج تاریخچه زمانی داشته و تغییر مکان گوشه ها برآورد بیشتری را نشان می دهد. اختلاف قابل ملاحظه نتایج تحلیلهای تاریخچه زمانی با مقادیر ارائه شده در UBC94، نشان دهنده اصلاح شدن آنها در نسخه UBC97 است که به دلیل اختصار از ارائه نتایج مربوطه صرف نظر می شود.



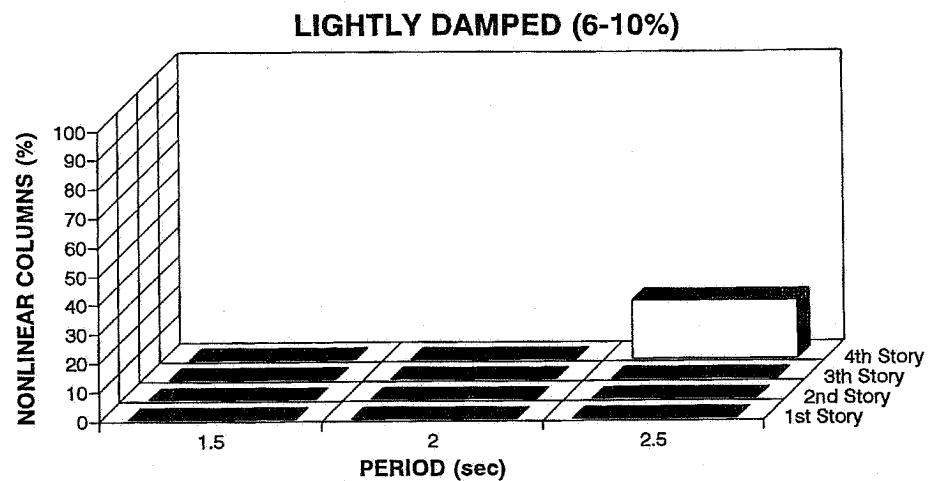
شکل ۱۰- تغییر مکان طبقه پایه برای سیستمهای ایزوله با درصد میرایی کم



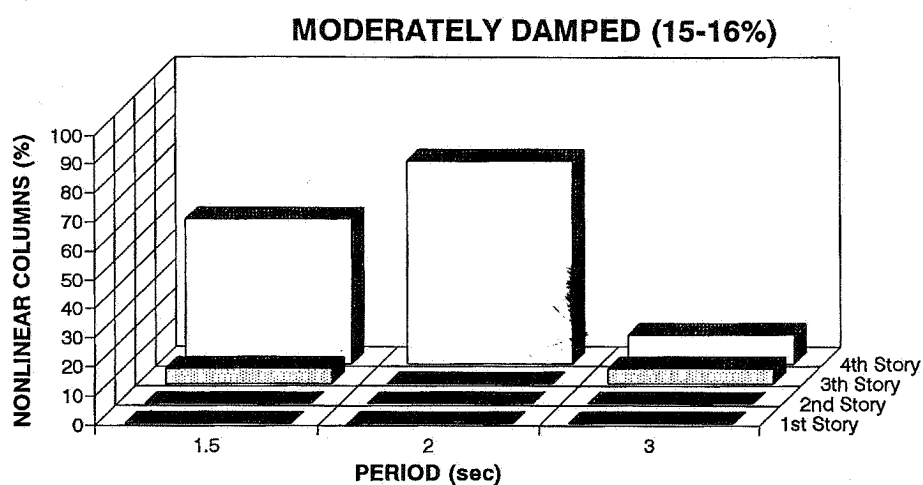
شکل ۱۱- تغییر مکان طبقه پایه برای سیستمهای ایزوله با درصد میرایی متوسط



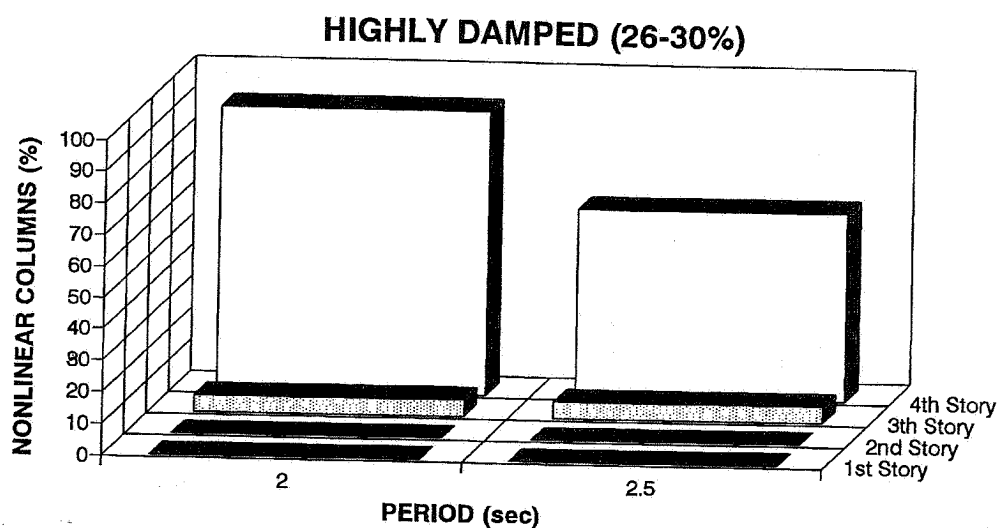
شکل ۱۲- تغییر مکان طبقه پایه برای سیستمهای ایزوله با درصد میرایی زیاد



شکل ۱۳ - درصد غیرخطی شدن ستونها برای سیستمهای ایزوله با درصد میرایی کم



شکل ۱۴ - درصد غیرخطی شدن ستونها برای سیستمهای ایزوله با درصد میرایی متوسط



شکل ۱۵ - درصد غیرخطی شدن ستونها برای سیستمهای ایزوله با درصد میرایی زیاد

ایزولاتورهای با استهلاک بالا که به میزان کمتری براورد شده است، از دقت مطلوبی برخوردار است.

- توزیع نیروی برش در طبقات، فاقد دقت کافی است. بررسی نتایج تحلیلهای تاریخچه زمانی نشان می‌دهد که هر دو توزیع خطی و یکنواخت نمی‌توانند توزیع مناسبی به شمار آینند.

۳- توزیع نیروی برش طبقات پیشنهادی UBC97، نیروی برشی بسیار کمی برای طبقات بالا در مقابل نیروی برشی واقعی نشان می‌دهد. این اختلاف در برخی حالتها تا ۱/۵ برابر نیز می‌رسد.

۴- براورد UBC97 از تغییر مکان طبقه پایه، براورد مطلوبی بوده ولی برای سیستمهای ایزولوئی با استهلاک کم این براورد تا حدی محافظه کارانه است. همچنین تغییر مکان طبقه پایه پیشنهادی UBC97 تخمین بهتری را نسبت به UBC94 ارائه می‌کند.

۵- روش توزیع پیشنهادی برش پایه در ارتفاع سبب انطباق هرچه بیشتر نتایج حاصله از تحلیلهای تاریخچه زمانی با ضوابط آیین نامه UBC97 شده است.

برشی ارائه شده توسط UBC97 برای آنها کاملاً نادرست است، مشهودتر است. همچنین در این مطالعه درصد غیرخطی شدن ستونها، رابطه خاصی با پریود و سیستم ایزولوئه را به دست نمی‌دهد.

۸- نتیجه گیری

در این پژوهه ضوابط مربوط به روش استاتیکی معادل آیین نامه UBC97 در تعیین برش و تغییر مکان نسبی طبقات و تغییر مکان طبقه پایه سازه‌های ایزولوئه شده مورد بررسی قرار گرفته است. برای این منظور ۸ مدل سازه‌ای تحت اثر ۱۰ رکورد زلزله در دو جهت طولی و عرضی به طور همزمان تحلیل غیرخطی تاریخچه زمانی شده‌اند. نتایج حاصله شامل برش طبقات و برش پایه، تغییر مکان نسبی طبقات، حداکثر تغییر مکان مرکز و گوشة طبقه پایه و همچنین درصد غیرخطی شدن ستونها مورد بررسی قرار گرفته است. حاصل این بررسیها را می‌توان به صورت زیر خلاصه کرد:

۱- نیروی برش پایه پیشنهاد شده توسط UBC97 به جز برای

واژه نامه

1. drift

مراجع

1. Su, L., and Ahmadi, G., "A Comparative Study of Performance of Various Base Isolation Systems, Part 1: Shear Beam Structures," *Earthquake Engineering and Structural Dynamics*, Vol. 18, pp. 11-32, 1989.
2. Fan, F., Ahmadi, G, Mostaghel, N. and Tadjbakhsh, I. G., "Performance Analysis of Aseismic Base Isolation Systems for a Multi-Story Building," *Soil Dynamics and Earthquake Engineering*, Vol. 10, No. 3, 1991.
3. Structural Engineers Association of North California (SEAONC), "Tentative Seismic Isolation Design Requirements," San Francisco, C. A., 1986.
4. "Uniform Building Code (1991)," *International Congress of Building officials*, Whittier, C. A.
5. Lashkari, B., and Kircher, C. A., "Evaluation of SEAOC/UBC Analysis Procedures Part 1: Stiff Superstructure," *ATC-17-1*, pp. 149-160.
6. Constantinou, M. C., Winter, C. W., and Theodossiou, D., "Evaluation of SEAOC/UBC Analysis Procedures, Part 2: Flexible Superstructure," *ATC-17-1*, pp. 161-172.
7. Winter, C. W., and Constantinou, M. C., "Evaluation of Static and Response Analysis Procedures of SEAOC/UBC for Seismic Isolated Structure," *NCEER*, 1993.
8. "Uniform Building Code (1994)," *International Congress of Building officials*, Whittier, C. A.
9. "Uniform Building Code (1997)," *International Congress of Building officials*, Whittier, C. A.
10. "ANSYS" A Numerical Analysis Software Prepared by Swanson Analysis System Inc., Hauston, P.A., 1992.